

# Graph genus and road interchanges

---

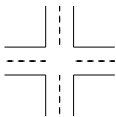
Valentas Kurauskas

Vilnius University

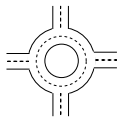
*Joint Estonian-Latvian Theory Days – Rīga – 14 Oct 2018*

## An engineering question

Is it possible to design a motorway interchange where drivers do not need to change lanes, cross other traffic lanes or stop to give way to other vehicles while inside the junction?

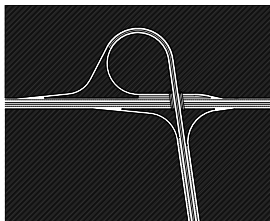


Crossroads ✗

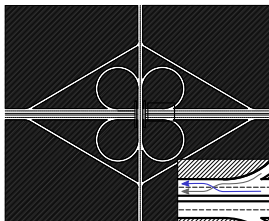


Roundabout ✗

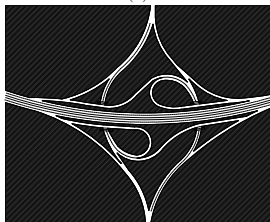
# Road junctions / interchanges



(a)



(b)



(c)



(d)

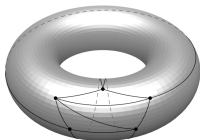
Illustration from V. K., On the genus of the complete tripartite graph  $K_{n,n,1}$ , Discrete Math 340 (2017).

# The Pinavia interchange

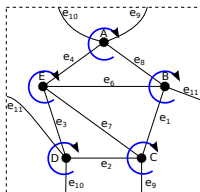


4-way “Pinavia” interchange: Buteliauskas (2008); Buteliauskas, Krasauskas ir Juozapavičius (2010); [www.pinavia.com](http://www.pinavia.com)

# Graphs embedded into a surface



<http://www.mathlabo.univ-poitiers.fr/~phan/exemples2.html>.



$$\pi_A = (e_4, e_{10}, e_9, e_8)$$

$$\pi_B = (e_1, e_6, e_8, e_{11})$$

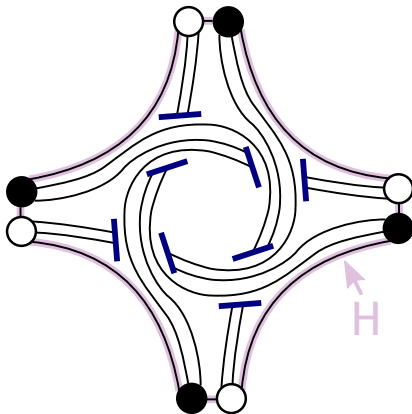
$$\pi_C = (e_9, e_2, e_7, e_1)$$

$$\pi_D = (e_{10}, e_{11}, e_3, e_2)$$

$$\pi_F = (e_4, e_6, e_7, e_3)$$

Euler's formula:  $2 - 2 \cdot \text{genus} = \# \text{vertices} + \# \text{faces} - \# \text{edges}$

## Modeling a road interchange as an embedding



Any such interchange  $\longleftrightarrow$  embedding of a bipartite graph with a Hamiltonian facial cycle.

Can go to any other direction  $\longleftrightarrow K_{n,n}$

# Not much prior literature

Новая обложка

## Топология автомобильной развязки

Четыре точки на границе круга или квадрата (например, вершины квадрата) можно попарно соединить перекрестящимися линиями (путями), проведенными внутри фигуры. В этом нетрудно убедиться, взяв в руки карандаш и бумагу, или для строгого доказательства необходимыми понятиями из области топологии. Если же изменить квадрат на такой кусок поверхности с фигурным отверстием и отверстием, как на рисунке 1, заданного рисунка.

Подобные топологически сложные поверхности представляют не только умозрительный интерес — они полезны в практике проектирования и строительства автомагистралей, железнодорожных путей, сети городских улиц и т. п. Глаза на рисунке 1, читатель наверняка узнал современную автомобильную развязку «кленовый лист». На первый взгляд, возможность попарно соединить перекрестящимися путями четыре пункта означает, что можно организовать беспрепятственное движение автомобилей.

Однако, присмотревшись внимательно, можно заметить, что схема, приведенная на рисунке 1, недостаточна. На самом деле, движение транспорта — двухстороннее, и встречные потоки также не должны пересекаться, поэтому количество пунктов и путей следует удвоить. Как показано на рисунке 2, каждый из пунктов «встречающихся» А, Б, В, Г следует соединить «встречающимися» путями с каждым из пунктов «выбывающих» А', Б', В', Г'.

Красные кружочки на рисунке помечены точкой пересечения потоков транспорта. Правда, эти пересечения происходят в местах, где потоки попутны (например, автомобиль, движущийся из пункта А в пункт Б', на месте должен перестроиться, так как его путь пересекает путь автомобиля, следующего



Рис. 1

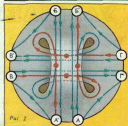


Рис. 2

из пункта В в пункт Б', по мере интенсивного движения и также перестроения автомобилей.

Как быть? Может быть, можно иначе направить потоки транспорта по такой развязке? Нет, устранить таким путем пересечения нельзя — это теорема, которую умеет доказывать тополог.

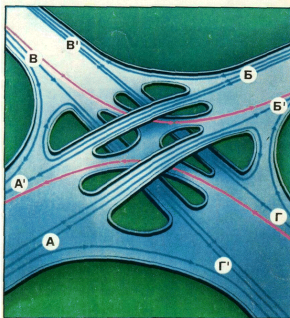
Но те же топологические соображения показывают нам и выход из сложившейся ситуации: надо усложнить «топологические строения» развязки. Однако на рисунке, показанном беспрепятственно направить все транспортные потоки, показано на четвертой странице нашей обложки. Здесь в средней части поверхности образована еще одна кинетрическая с фигурным отверстием, которая соединит поверхность «куста» с расположенной внизу «перечерченной» дорожкой. Выясним, показанное решение не удовлетворяет конструкции автомагистралей. Но в практике современной строительства есть примеры топологически весьма сложных узлов и развязок.

Ю. В. Котов



Цена 40 коп.  
Издатель 78465

Слева из черно-белой фотографии показана современная «кленовая» развязка двух магистралей. Однако при такой развязке некоторые пути «встречающихся» транспортных потоков перекрестятся. Внизу — сложная развязка, называемая «киской лужайки», удовлетворяет беспрепятственному движению. Подобная обложка рассказана в номере Ю. В. Котов в разделе «Новая обложка».



Yu. Kotov, Topology of an automobile interchange, Kvant 5 (1983) (in Russian).

## Genus of specific graphs

- Genus of complete graphs  $K_n$  Ringel and Youngs (1968)
- Genus of complete bipartite graphs  $K_{m,n}$  Ringel (1965)
- Genus of complete tripartite graphs  $K_{m,n,l}$   $m \geq n \geq l$   
**conjecture** White (1965):

$$g(K_{m,n,l}) = \left\lceil \frac{(m-2)(n+l-2)}{4} \right\rceil$$

- The conjecture proved very recently by Ellingham, Stephens and Zha (2018+)

## The answer for even $n$

### **Theorem (VK, 2016)**

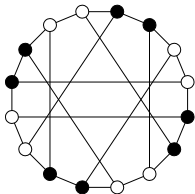
*For  $n$  even the minimum genus of an embedding of  $K_{n,n}$  with a face bounded by a Hamiltonian cycle is  $\lceil (n-1)(n-2)/4 \rceil$ .*

### **Corollary**

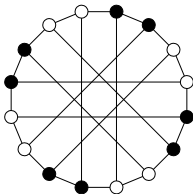
*For  $n$  even the genus of the complete tripartite graph  $K_{n,n,1}$  is  $\lceil (n-1)(n-2)/4 \rceil$ .*

# Optimal interchanges for $n = 4$ and $n = 5$

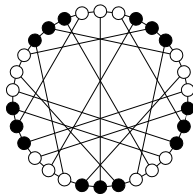
The only (up to isomorphism) optimal genus solutions for  $n = 4$  and  $n = 5$ .



$n=4$



$n=4$

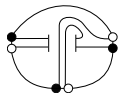


$n=5$

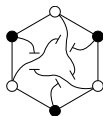
# Rotationally symmetric interchanges of minimum genus

## Two types of $n$ -fold rotational symmetry:

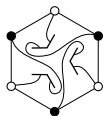
1. **Combinatorial / topological:** rotation system invariant under the cyclic shift along  $H$  by 2.
2. **Geometric:** the surface in  $\mathbb{R}^3$ , the embedded graph and the outer face are *all* invariant under rotation by  $2\pi/n$ .



1: ✓ 2: ✗



1: ✓ 2: ✓

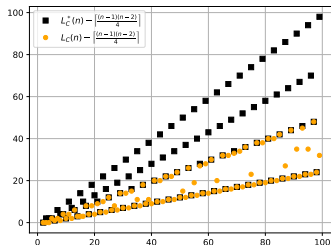


1: ✓ 2: ✓

# Results

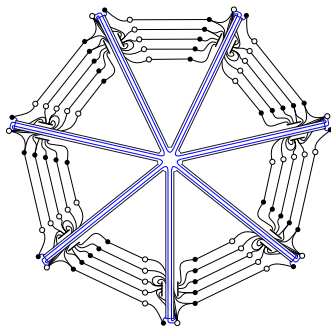
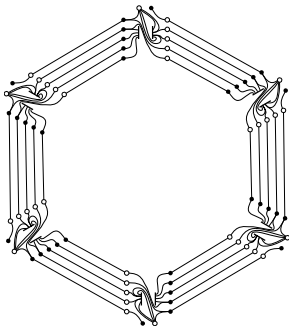
We find the *minimum genus* for  $n$ -fold rotationally symmetric interchanges in both cases:

1. For topological/combinatorial symmetry, it depends on  $n \bmod 4$  as well as on the *smallest prime divisor* of  $n$ .
2. For geometric ( $\mathbb{R}^3$ ) symmetry, it depends *only* on  $n \bmod 4$ .



# Optimal symmetric constructions

“ring road”  $n \bmod 4 \in \{1, 2\} \dots$



... extra “star bridge”  $n \bmod 4 \in \{0, 3\}$ ,  $n \neq 4$ .

# Thank you.

- V. Kurauskas, On the genus of the complete tripartite graph  $K_{n,n,1}$ , Discrete Mathematics (2016), arXiv:1612.07888.
- V. Kurauskas, U. Šiurienė, Symmetric road interchanges, arXiv:1801.03860.

**Some details**

# Detailed result 1

## Theorem (combinatorial symmetry)

*The minimum genus for a complete interchange with  $n$ -fold combinatorial symmetry is  $L_C(n)$  where*

$$L_C(n) = \begin{cases} \frac{n(n-2)}{4}, & \text{if } n \text{ is even;} \\ \lfloor \frac{n(n-1)}{4} \rfloor + 1 - \frac{1}{2} \left( \frac{n}{p_1} + p_1 \right), & \text{if } n \equiv 3 \pmod{4}, p_1 \neq n \text{ and } p_1^2 \nmid n; \\ \lfloor \frac{n(n-1)}{4} \rfloor + 1 - \frac{1}{2} \left( \frac{n}{p_1} + 1 \right), & \text{if } n \equiv 3 \pmod{4} \text{ and } p_1^2 \mid n; \\ \frac{n(n-1)}{4} - 1, & \text{if } n \equiv 1 \pmod{4}, 3 \mid n \text{ and } 9 \nmid n; \\ \lfloor \frac{n(n-1)}{4} \rfloor, & \text{otherwise,} \end{cases}$$

*where  $p_1$  is the smallest prime divisor of  $n$ .*

## Detailed result 2

### Theorem (geometric symmetry)

For  $n \neq 4$ , the minimum genus for a complete interchange with  $n$ -fold geometric symmetry is  $L_C^*(n)$  where

$$L_C^*(n) = \begin{cases} \frac{n^2}{4} - 1, & \text{if } n \equiv 0 \pmod{4}; \\ \frac{n(n-1)}{4}, & \text{if } n \equiv 1 \pmod{4}; \\ \frac{n(n-2)}{4}, & \text{if } n \equiv 2 \pmod{4}; \\ \frac{n(n+1)}{4} - 1, & \text{if } n \equiv 3 \pmod{4}. \end{cases}$$

# Building block for ringroad construction

